

なされる。

上記の通過車輛条件、幅員方向の影響線分布、通過位置のバラツキから補正係数 C_1, C_2 を種々異なる $S-N$ 線図の勾配ごとに算出して、図-4に示す。

4. トラフリ下現場実合せ溶接継手の疲労寿命予測

疲労寿命予測に用いる $S-N$ 線図として、建設省土木研究所で求められた下限基準 $S-N$ 線⁵⁾と

$$\log N = 17.388 - 5.376 \log \sigma_r \quad (3)$$

図-5に示した $S-N$ 線図を用いた。

図-5の実線は50%破壊確率線を示し、標準偏差はそれを用いた試験体について、 $\sigma_{FG} = 0.1712$ 、 $\sigma_L = 0.1652$ 、

$\sigma_G = 0.2328$ 、 $\sigma_M = 0.1361$ である。試験体 FG と L は裏当て金を用いた実合せ溶接部のルート肉隔が十分なものであり、試験体 G と M はルート肉隔が 0.5 mm であり溶接欠陥が生じていた。また、試験体 FG と G とは実合せ溶接をトラフリ下底面から始め、側面才2層を終了し、試験体 L と M では溶接順序を逆にしてトラフリ下底面才2層を終了した。この結果、試験体 FG と G とは下底面において下方向に圧縮残留応力が生じ、試験体 L と M では引張残留応力が生じていた。

いま、1車線あたりの日交通量を $10,000$ 台/日とし、橋上を通過する車輛がすべて2軸車であると仮定する。疲労寿命予測に(3)式の $S-N$ 線を用いるものとする、図-4から補正係数として $C_1 = 0.016$ 、 $C_2 = 0.535$ が得られ、1年間あたりの等価繰返し回数 $N_{eq} = C_1 C_2 N_{tr} = 62.5 \times 10^3$ が求められる。つぎに、着目縦リ下上を輪荷重が通過する場合の曲げモーメントの影響線縦距は $g_r = g_{\max} - g_{\min} = 0.513 \text{ m}$ であり、トラフリ下底面フランジの断面係数 $W_x = 196 \text{ cm}^3$ から設計輪荷重 (78.4 kN) による応力振幅 $\sigma_r = 62.2 \text{ MPa}$ が得られる。 $\sigma_r = 62.2 \text{ MPa}$ に相当する繰返し回数と等価繰返し回数とから、疲労寿命 886 年が予測される。

ただし、応力振幅の算出にあたり衝撃係数は $\lambda = 1.0$ とした。疲労寿命予測結果を図-6に示す。黒のヒストグラムは95%信頼下限界 $S-N$ 線による値であり、白のヒストグラムは50%破壊確率線による予測値である。溶接欠陥を有する試験体では疲労寿命が極端に短く、供用開始後早期に疲労き裂が発生することもありうる。

5. まとめ

実合せ溶接部のルート肉隔不足にともなって生ずる溶込み不良等の溶接欠陥によって極端な疲労寿命の低下をまねき、今さらながら綿密に確実な溶接施工の必要性を痛感する。

参考文献

- 1) 近藤他：鋼床版用断面縦リ下現場溶接継手の疲労強度，土木学会論文報告集，No.340，1983。
- 2) 国広他：直交異方性版理論による鋼床版実用設計法，土木研究所報告，No.137，1969。
- 3) 佐伯他：本州四国連絡橋の設計施工に関する研究報告，土木研究所資料，No.1176，1977。
- 4) 国広他：道路橋の疲労設計，道路，1972-3。
- 5) 佐伯他：鋼床版リ下現場溶接継手の疲労試験，土木技術資料，No.25-3，1983

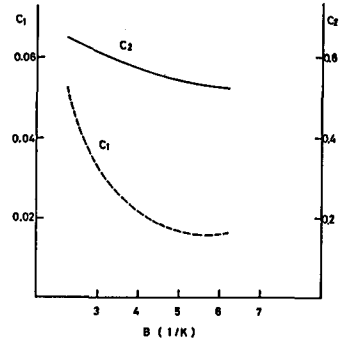


図-4 S-N線の勾配と補正係数

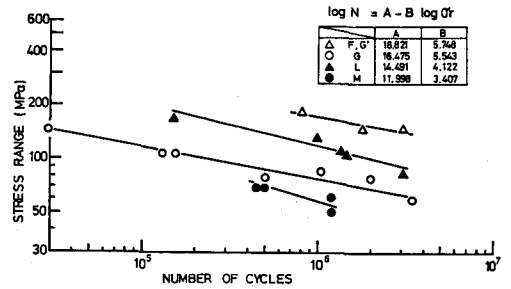


図-5 曲げ疲れ試験結果¹⁾

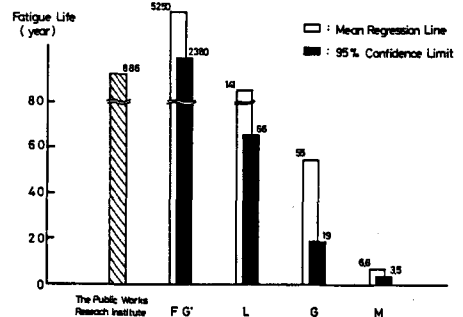


図-6 疲労寿命予測結果